

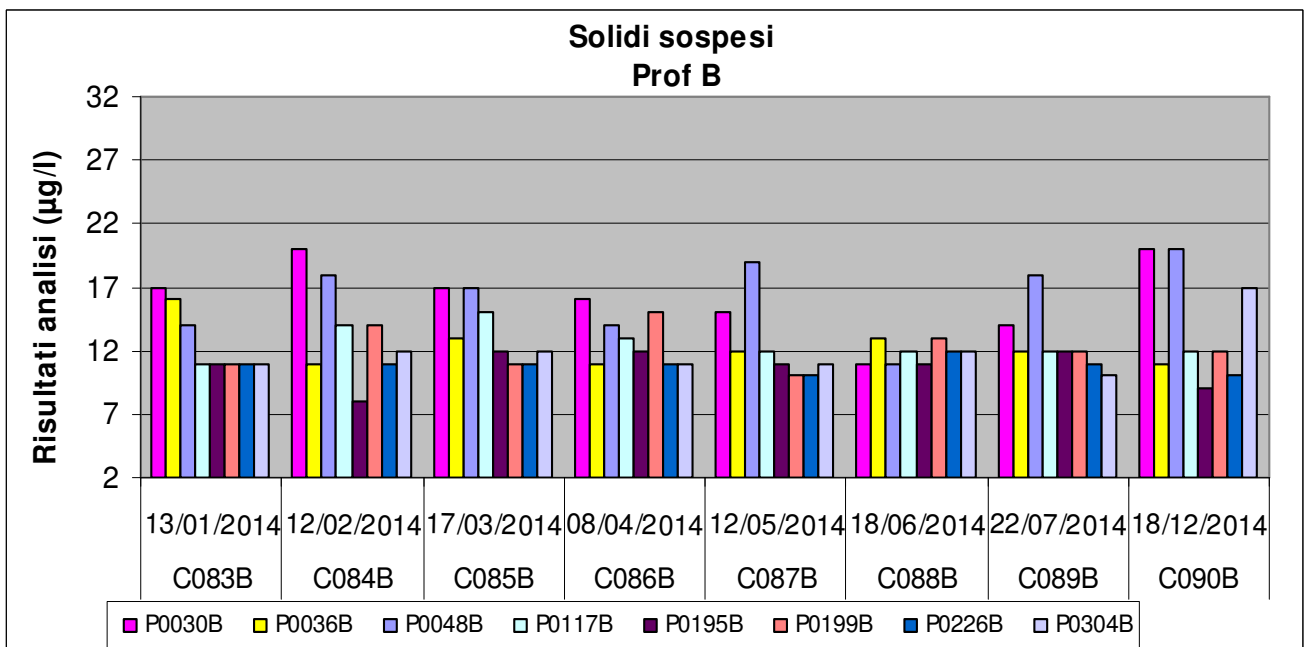
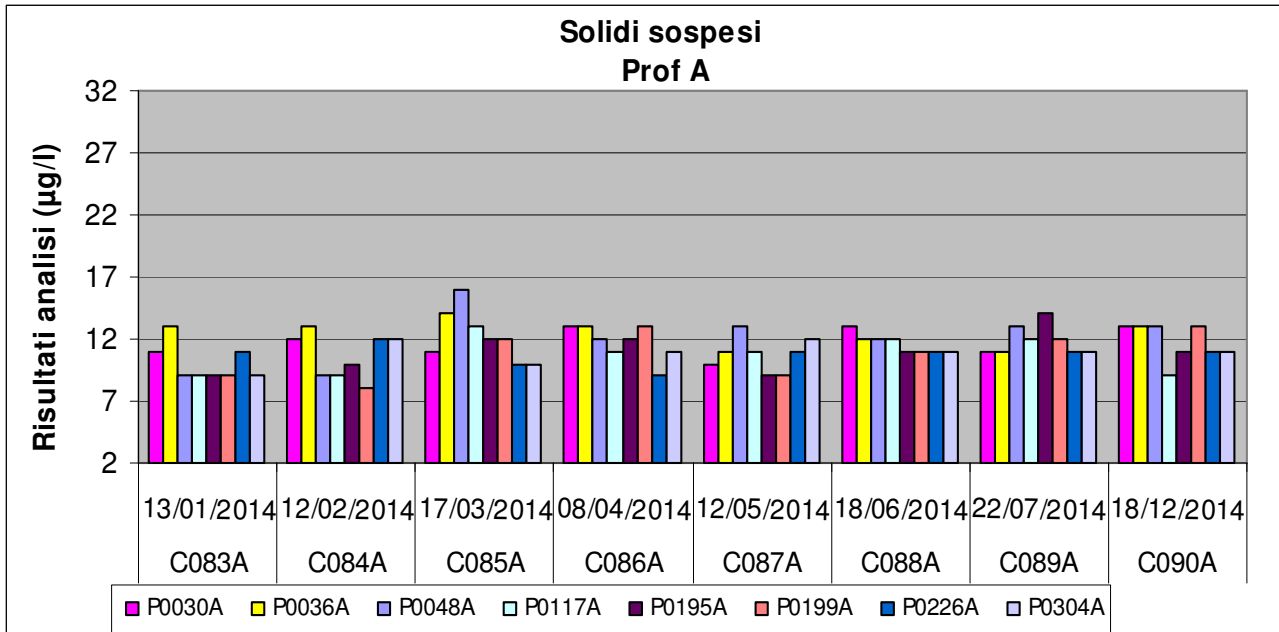


**11° RELAZIONE  
ATTIVITA' DI MONITORAGGIO DEL  
GOLFO DELLA SPEZIA  
PER IL DRAGAGGIO DELLO SPECCHIO  
ACQUEO ANTISTANTE  
BACINO EVOLUZIONE**

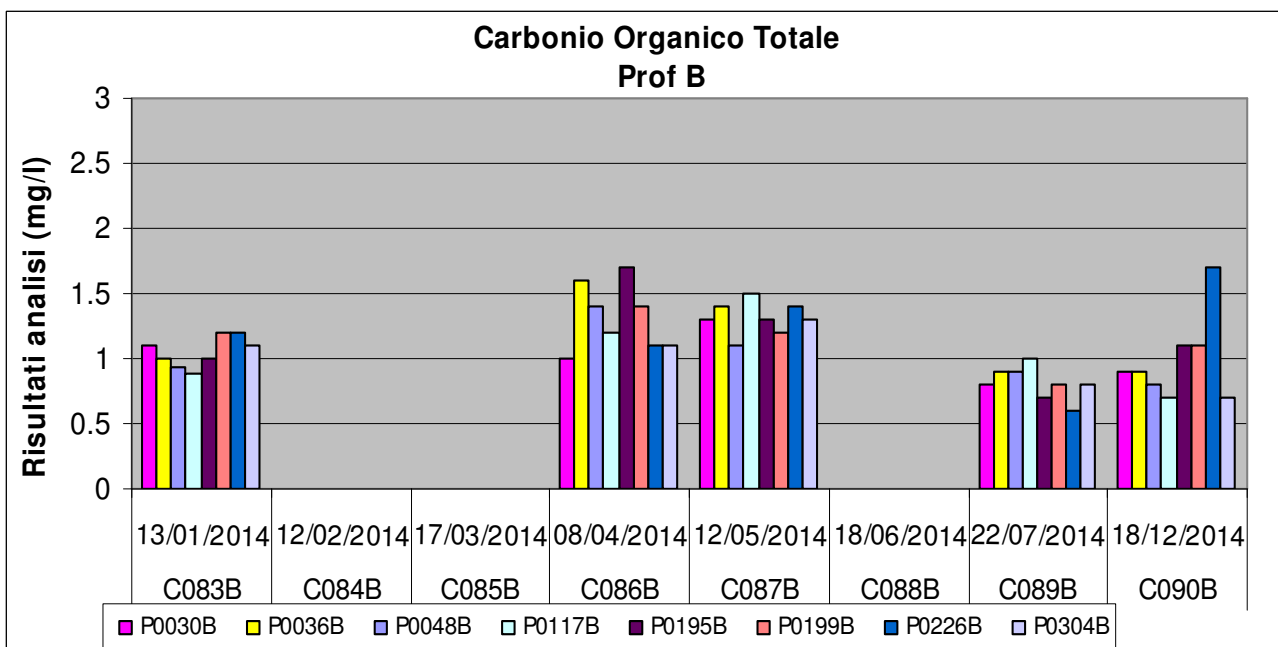
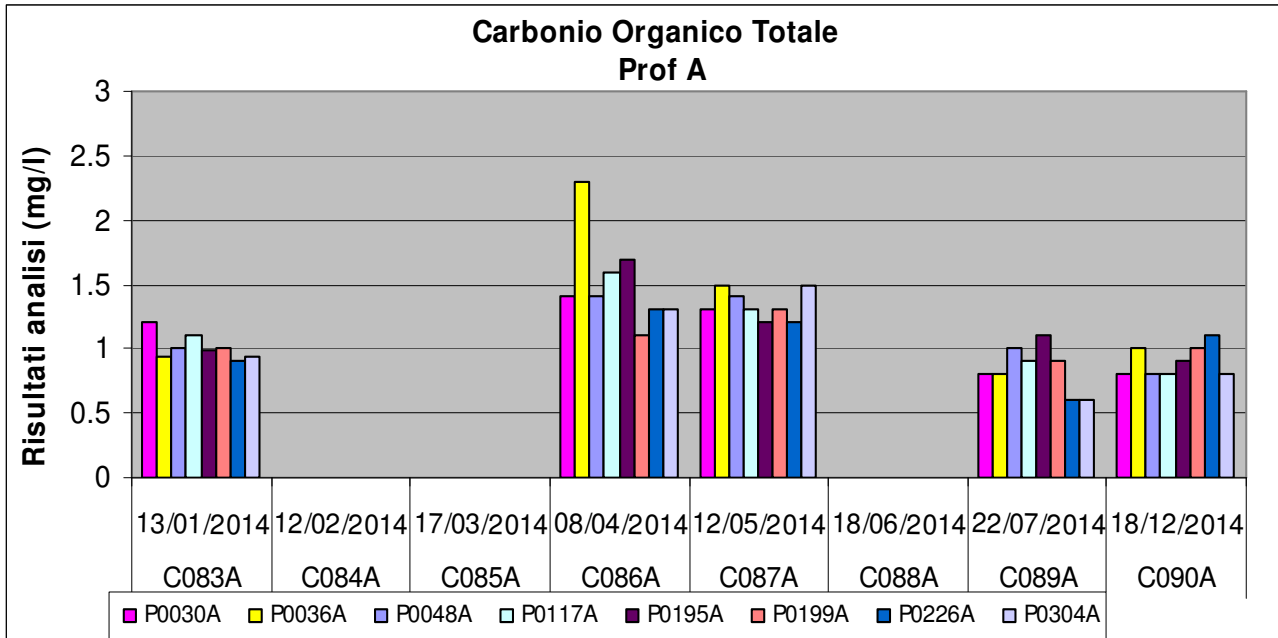


**Allegato 1  
Elaborazione dati analitici  
Gennaio- Dicembre 2014**

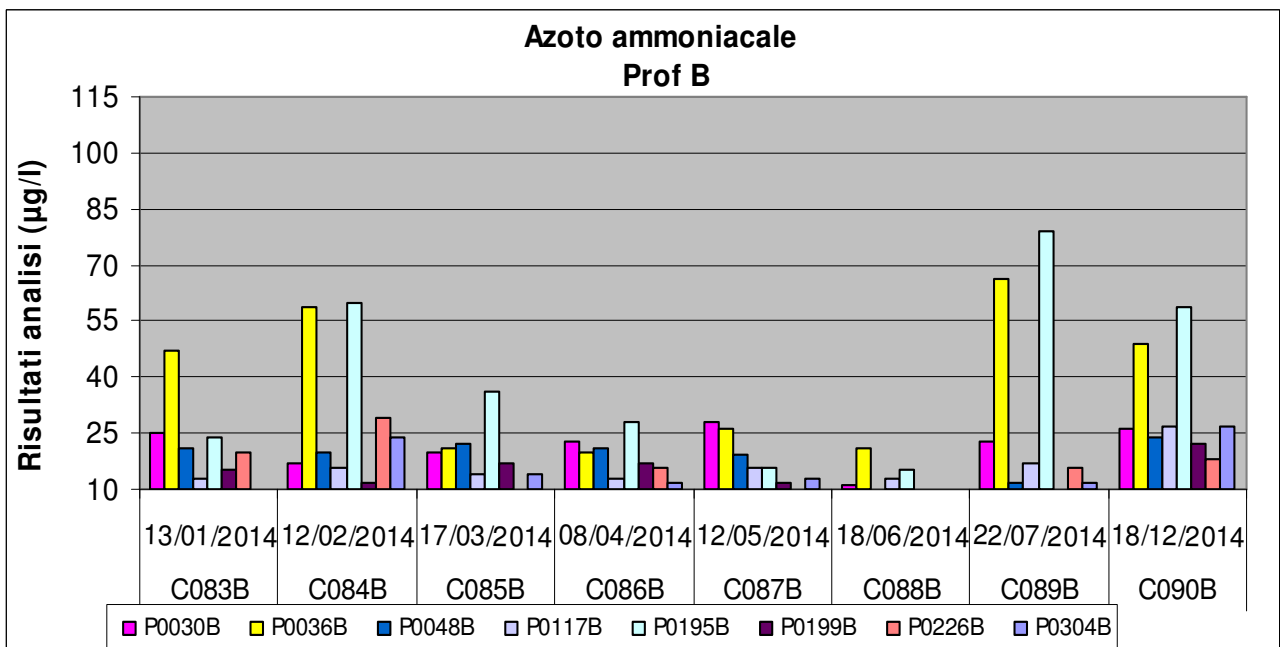
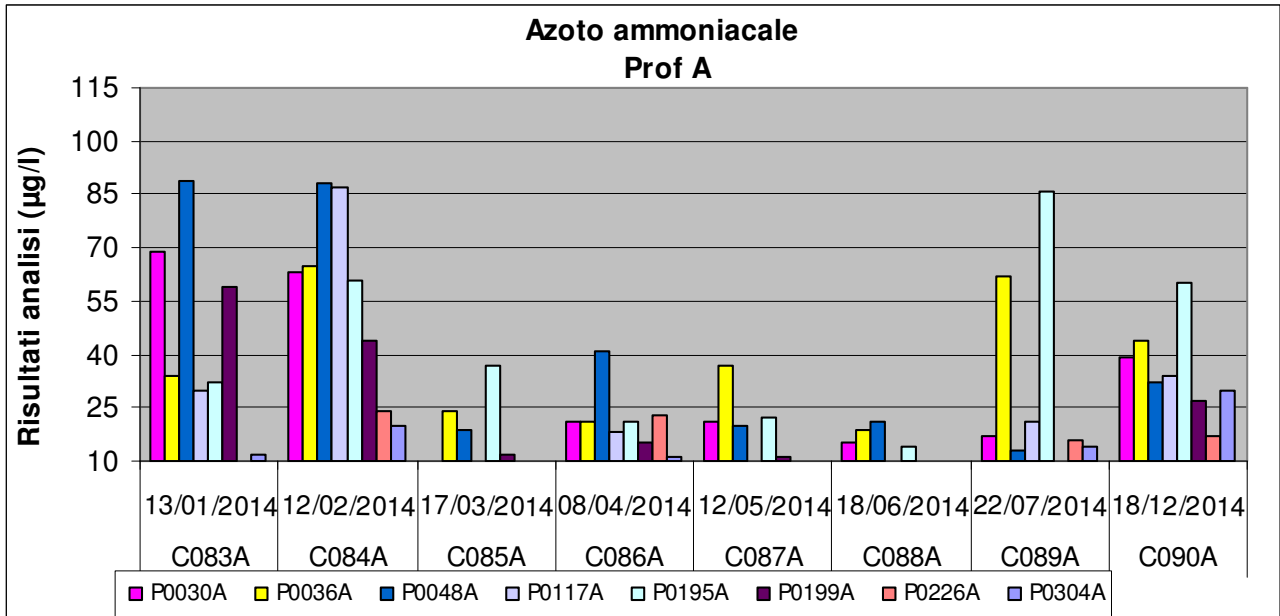
**Fig.1 Andamento parametro Solidi sospesi (mg/l) in n.8 stazioni di campionamento (P0030-P0036-P0048- P0117-P0195-P0199-P0226-P0304), a due profondità (-2 m dalla superficie e +2 m dal fondo) nel periodo in esame**



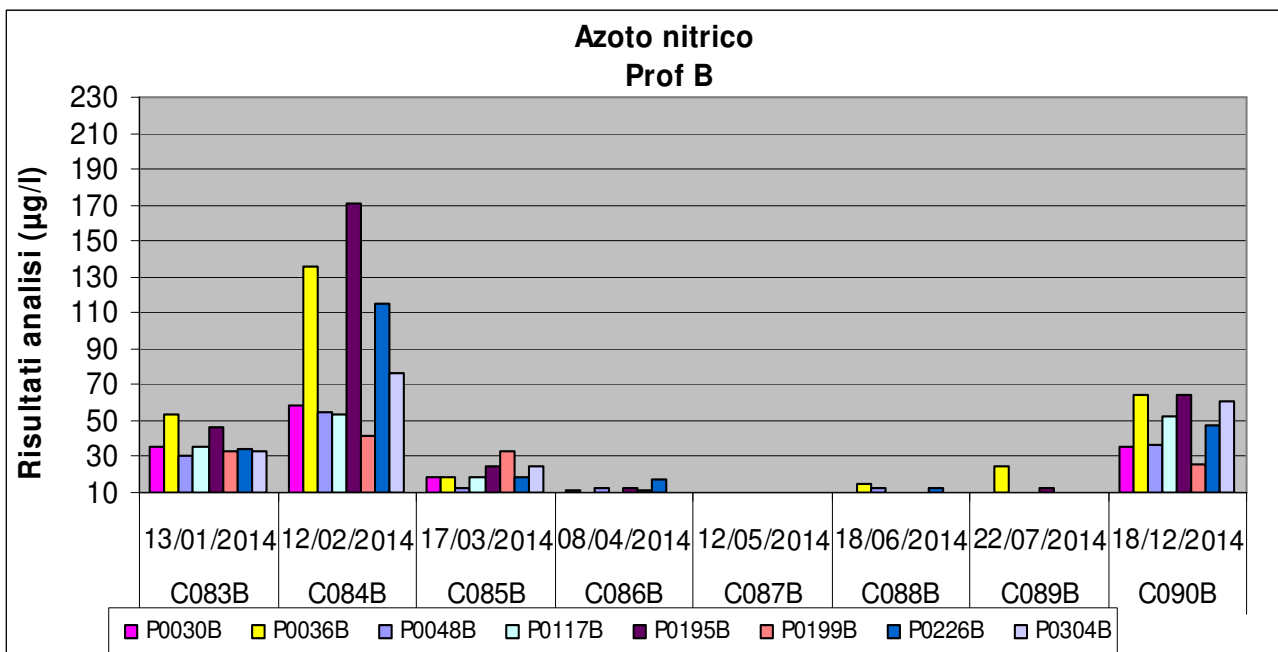
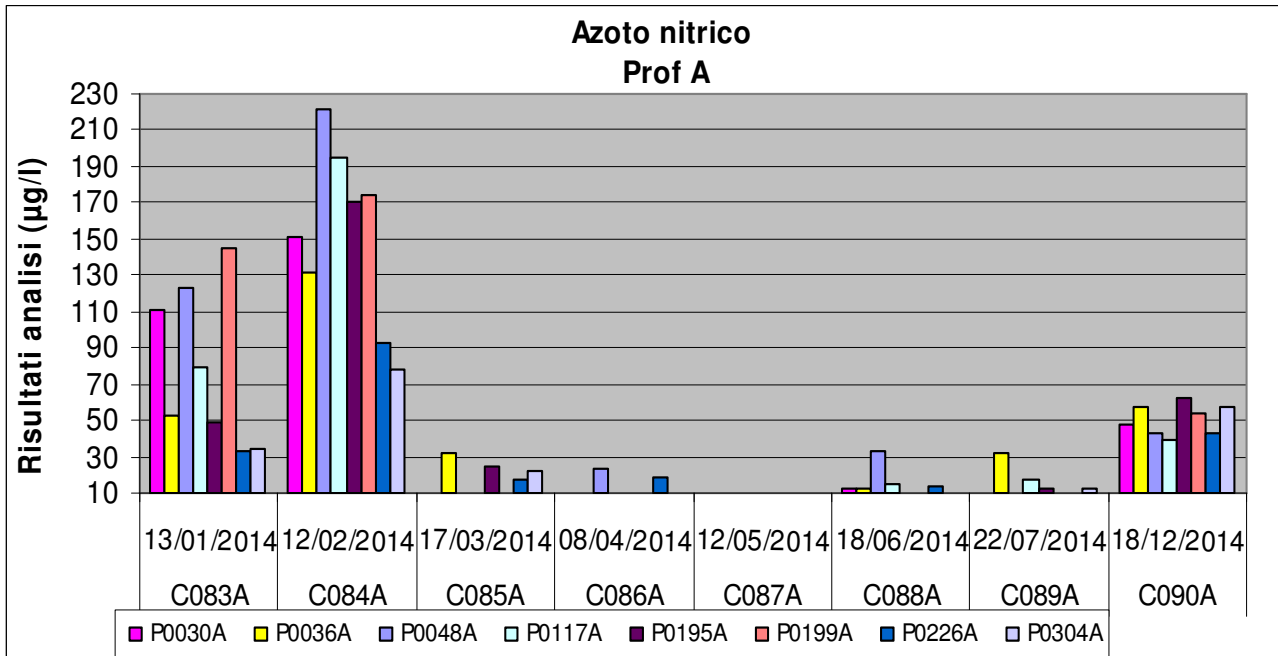
**Fig.2 Andamento parametro Carbonio Organico Totale (mg/l) in n.8 stazioni di campionamento (P0030-P0036-P0048- P0117-P0195-P0199-P0226-P0304), a due profondità (-2 m dalla superficie e +2 m dal fondo) nel periodo in esame**



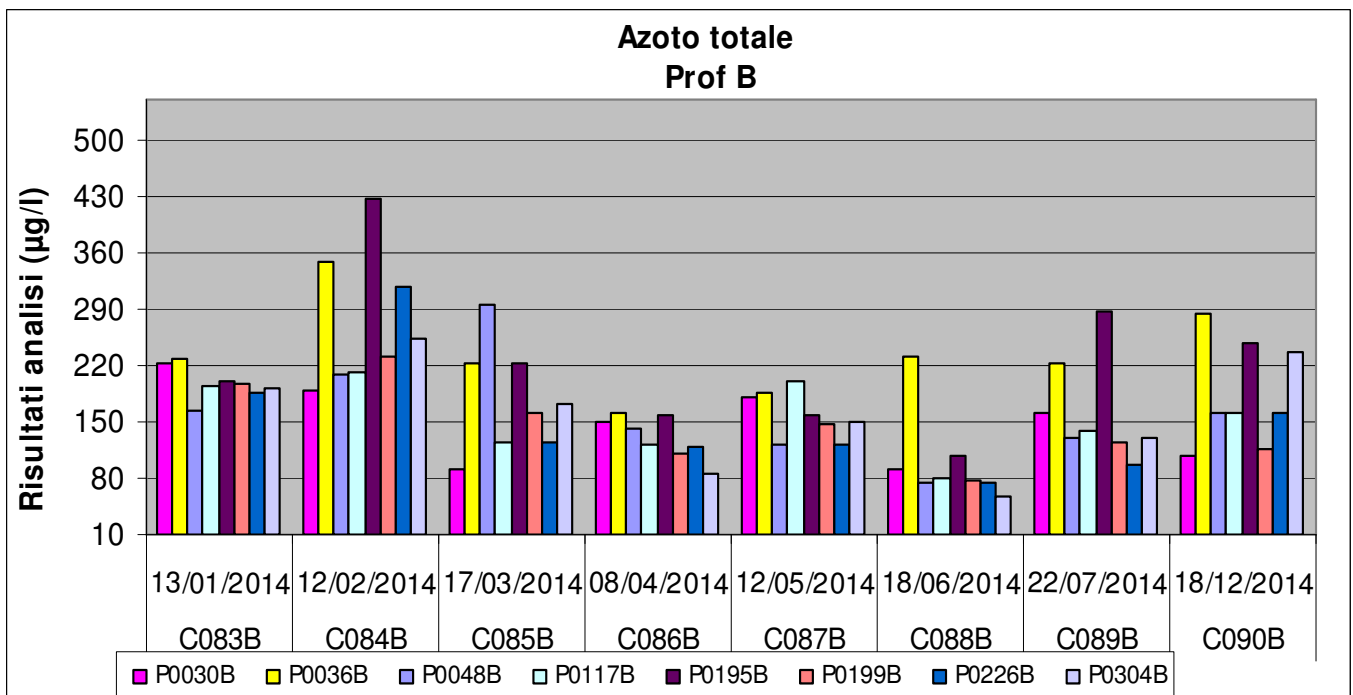
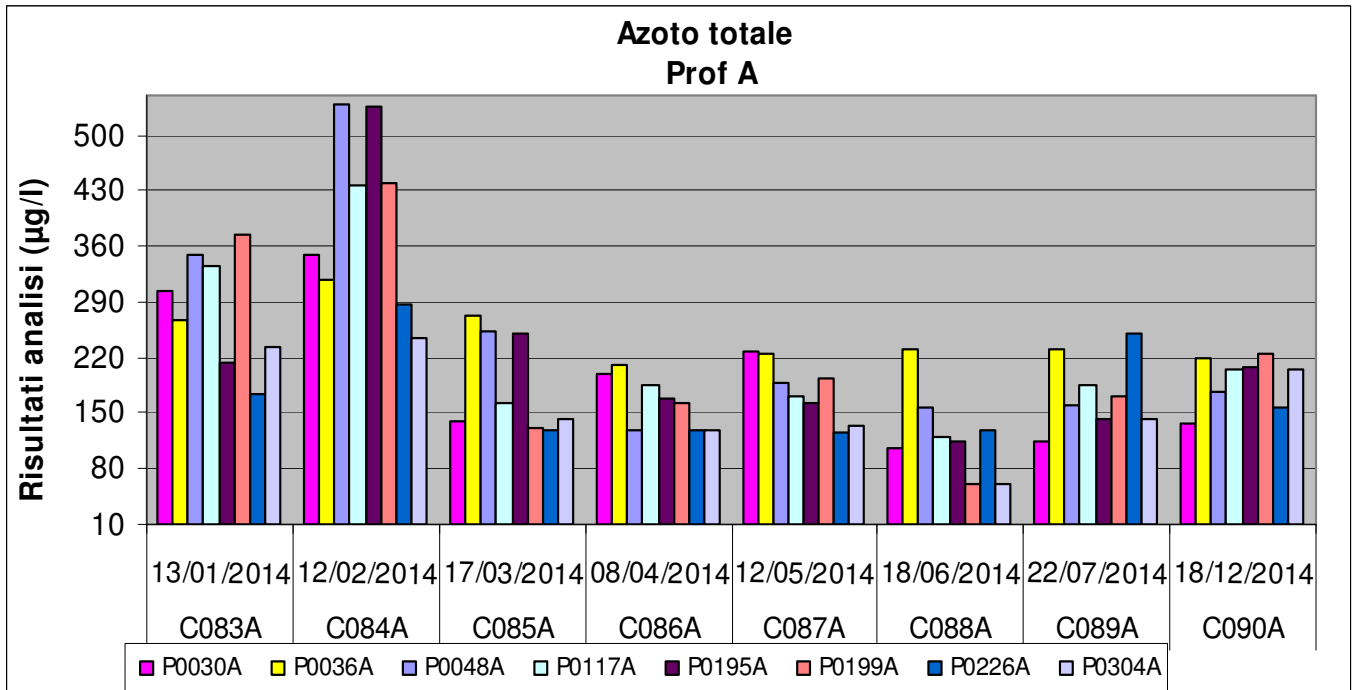
**Fig.3 Andamento parametro Azoto ammoniacale ( $\mu\text{g/l}$ ) in n.8 stazioni di campionamento (P0030-P0036-P0048- P0117-P0195-P0199-P0226-P0304), a due profondità (-2 m dalla superficie e +2 m dal fondo) nel periodo in esame**



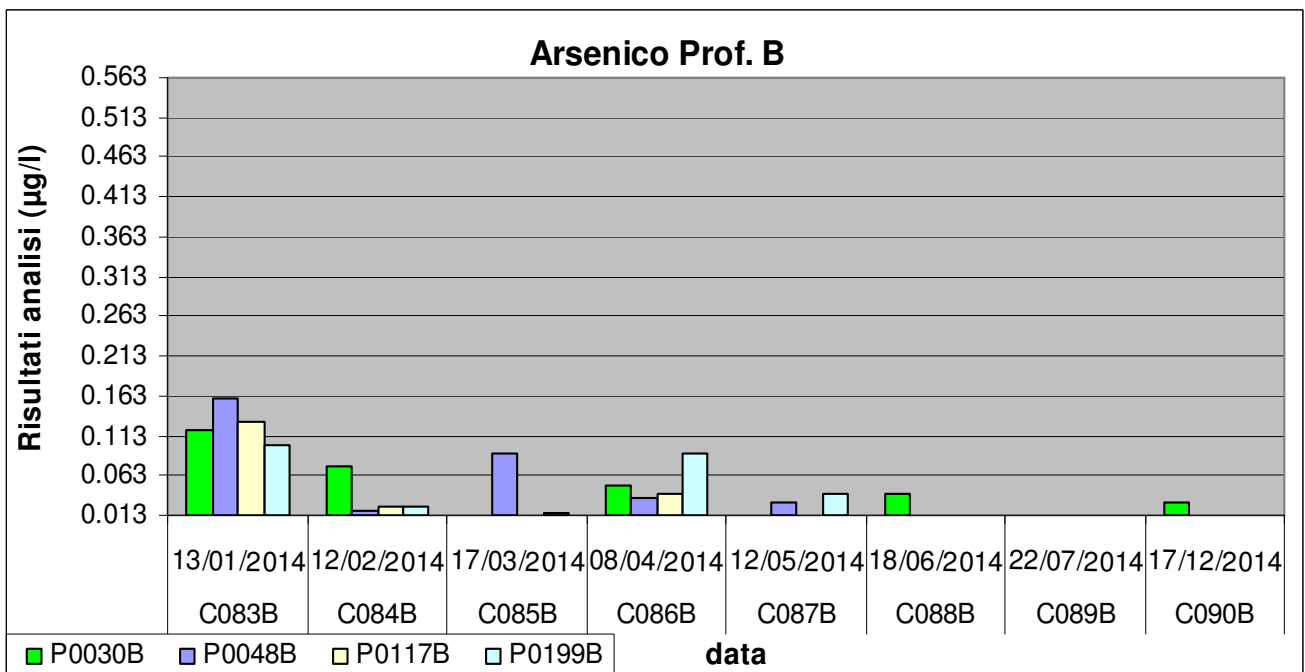
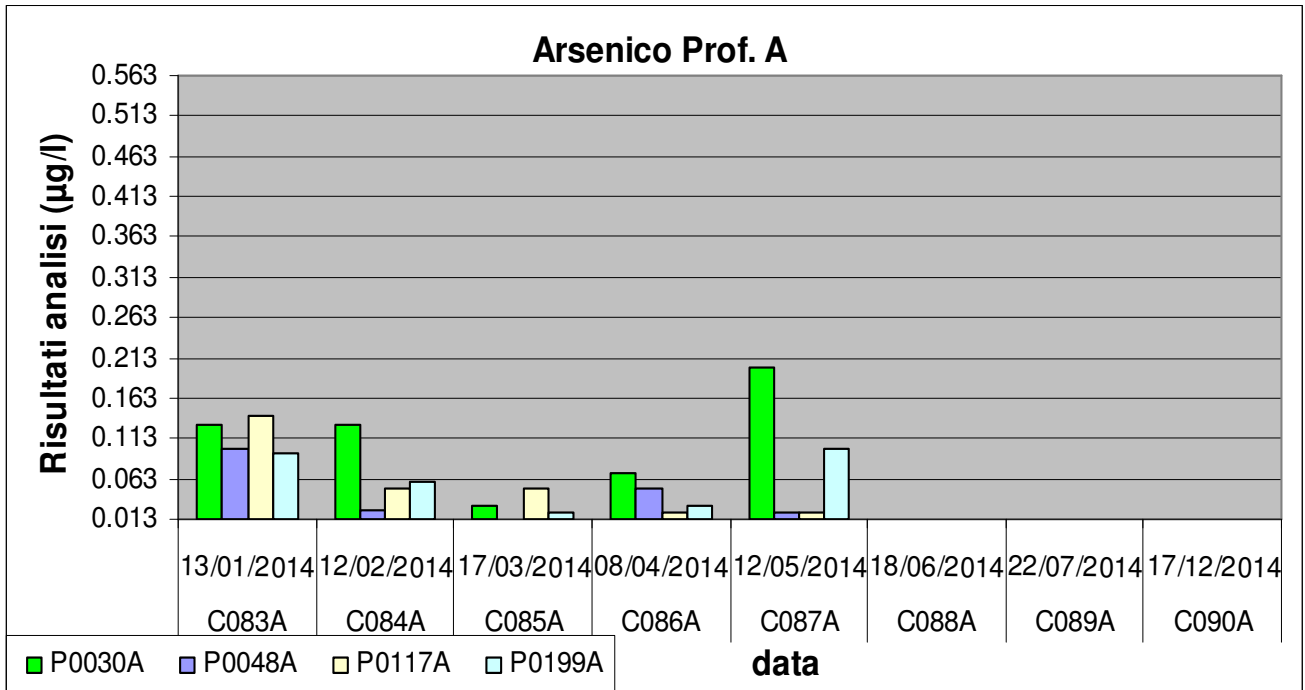
**Fig.4 Andamento parametro Azoto nitrico ( $\mu\text{g/l}$ ) in n.8 stazioni di campionamento (P0030-P0036-P0048- P0117-P0195-P0199-P0226-P0304), a due profondità (-2 m dalla superficie e +2 m dal fondo) nel periodo in esame**



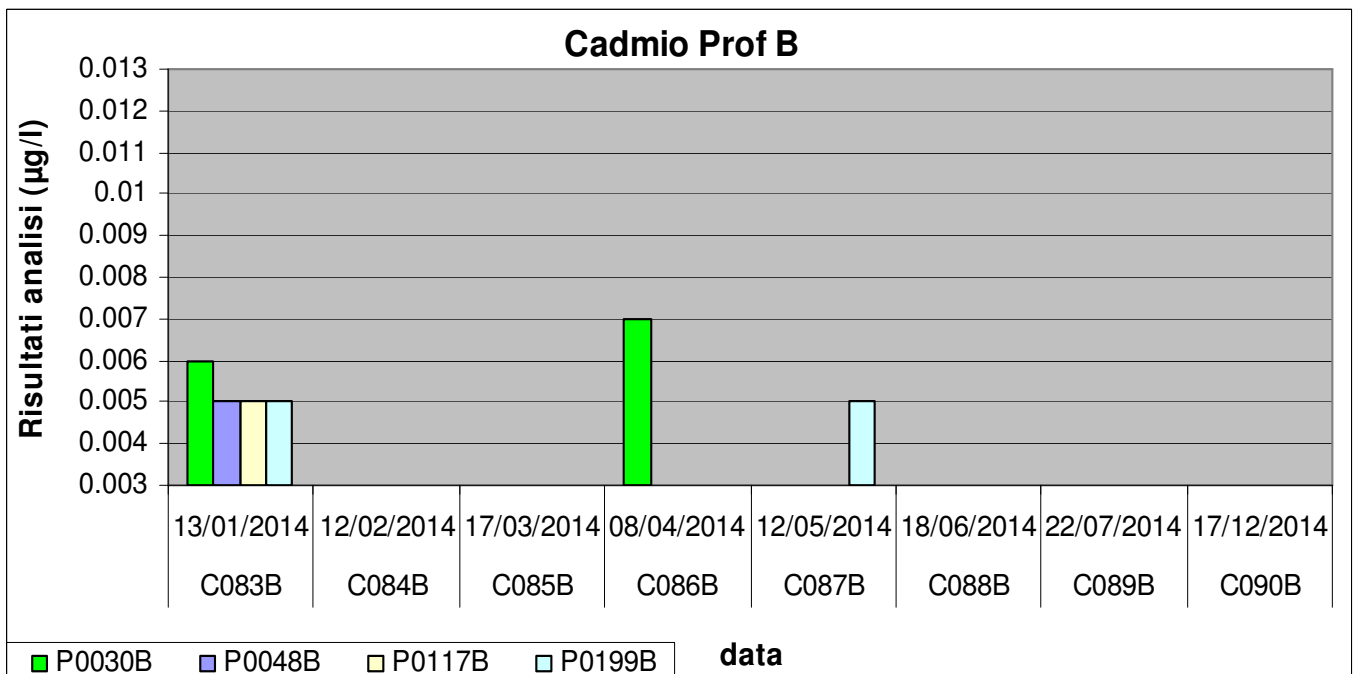
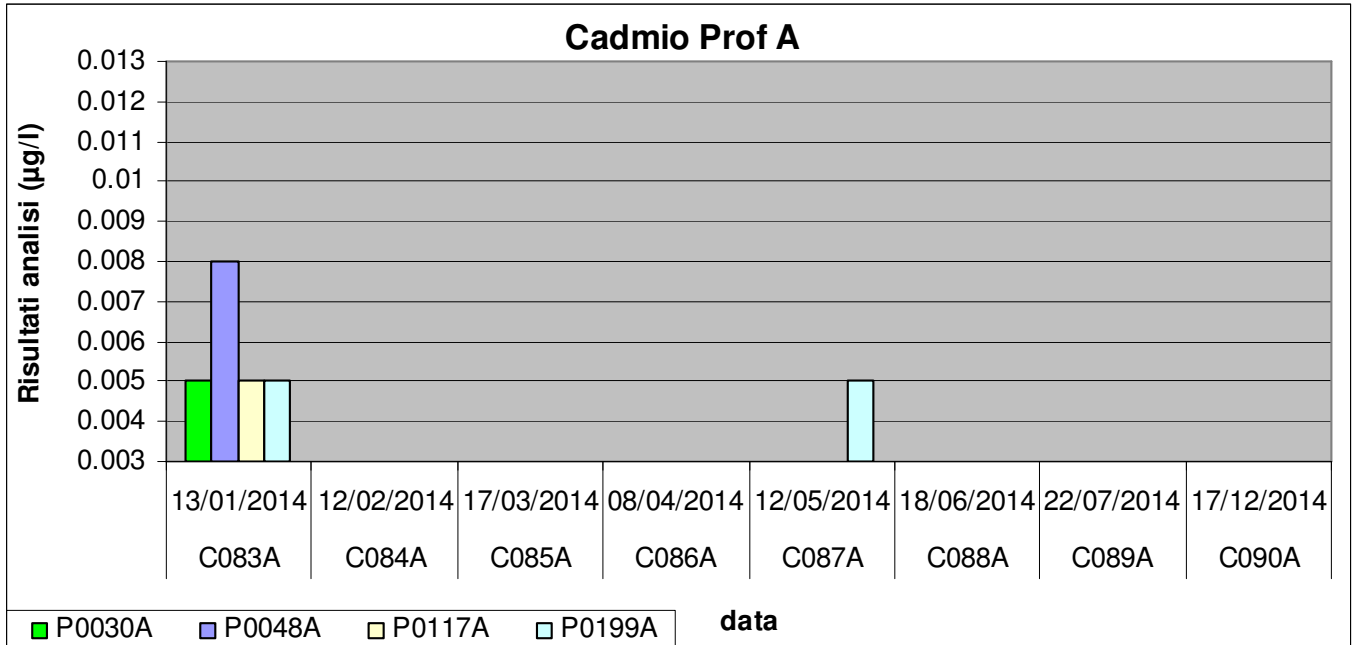
**Fig.5 Andamento parametro Azoto totale ( $\mu\text{g/l}$ ) in n.8 stazioni di campionamento (P0030-P0036-P0048- P0117-P0195-P0199-P0226-P0304), a due profondità (-2 m dalla superficie e +2 m dal fondo) nel periodo in esame**



**Fig.6 Andamento parametro Arsenico ( $\mu\text{g/l}$ ) in n.4 stazioni di campionamento (P0030-P0048-P0117-P0199), a due profondità (-2 m dalla superficie e +2 m dal fondo) nel periodo in esame**

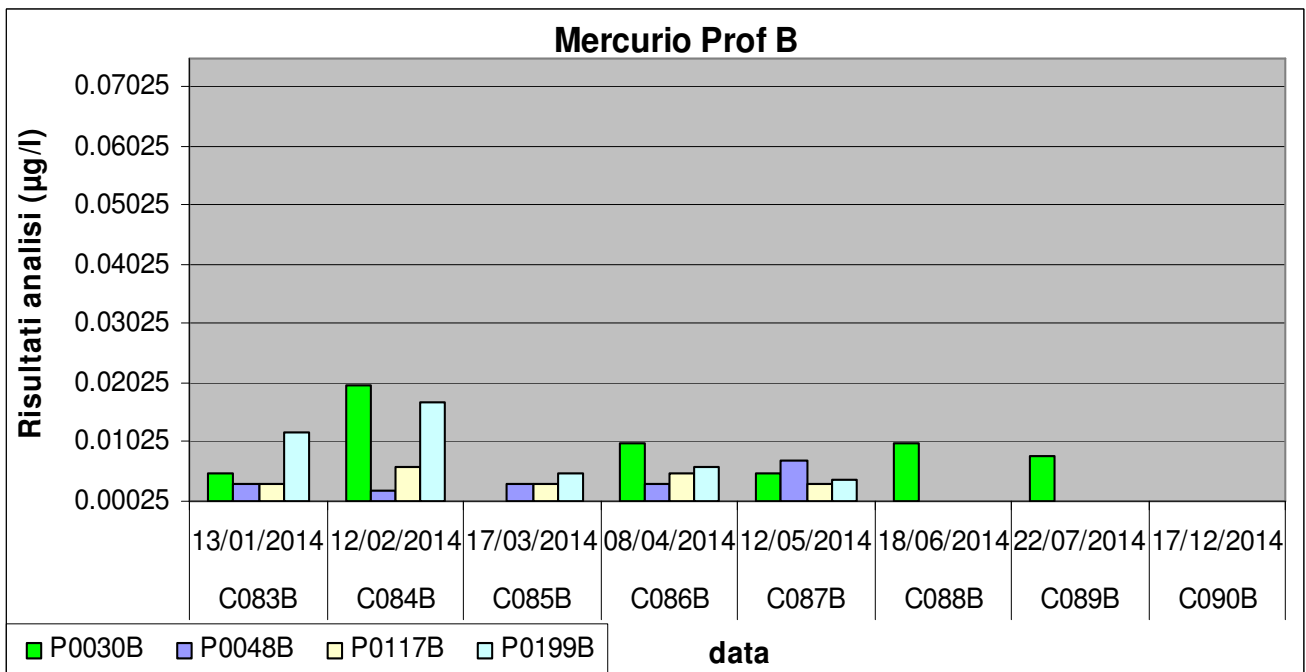
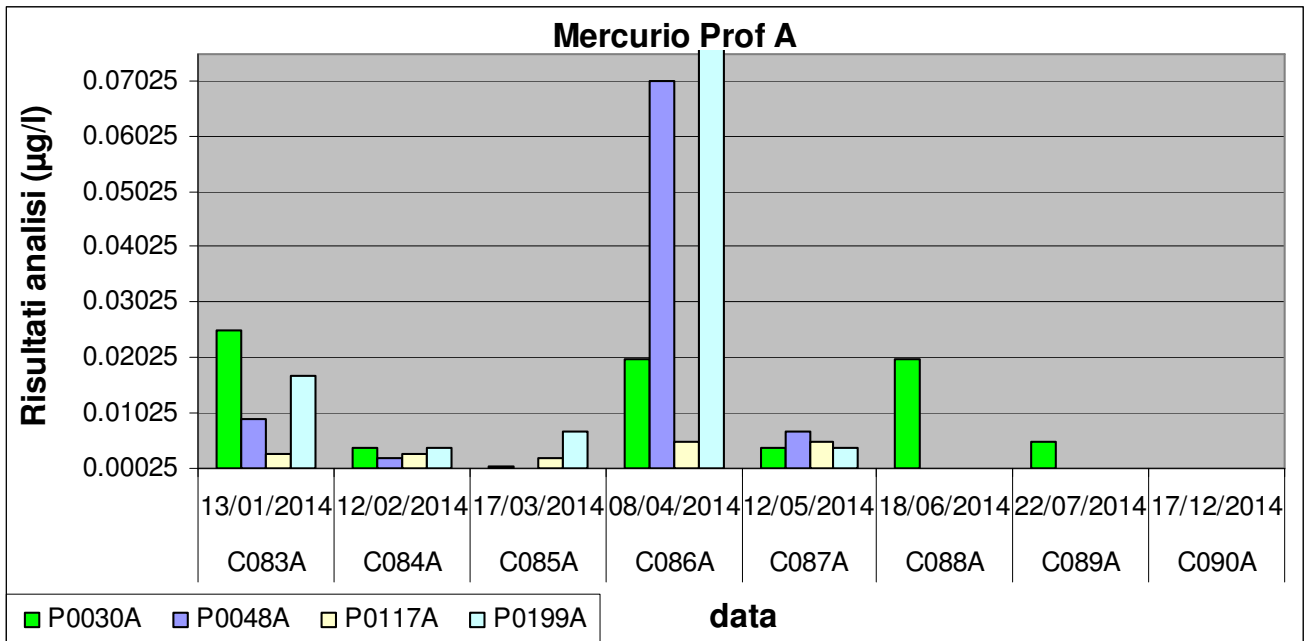


**Fig.7 Andamento parametro Cadmio ( $\mu\text{g/l}$ ) in n.4 stazioni di campionamento (P0030-P0048-P0117-P0199), a due profondità (-2 m dalla superficie e +2 m dal fondo) nel periodo in esame**

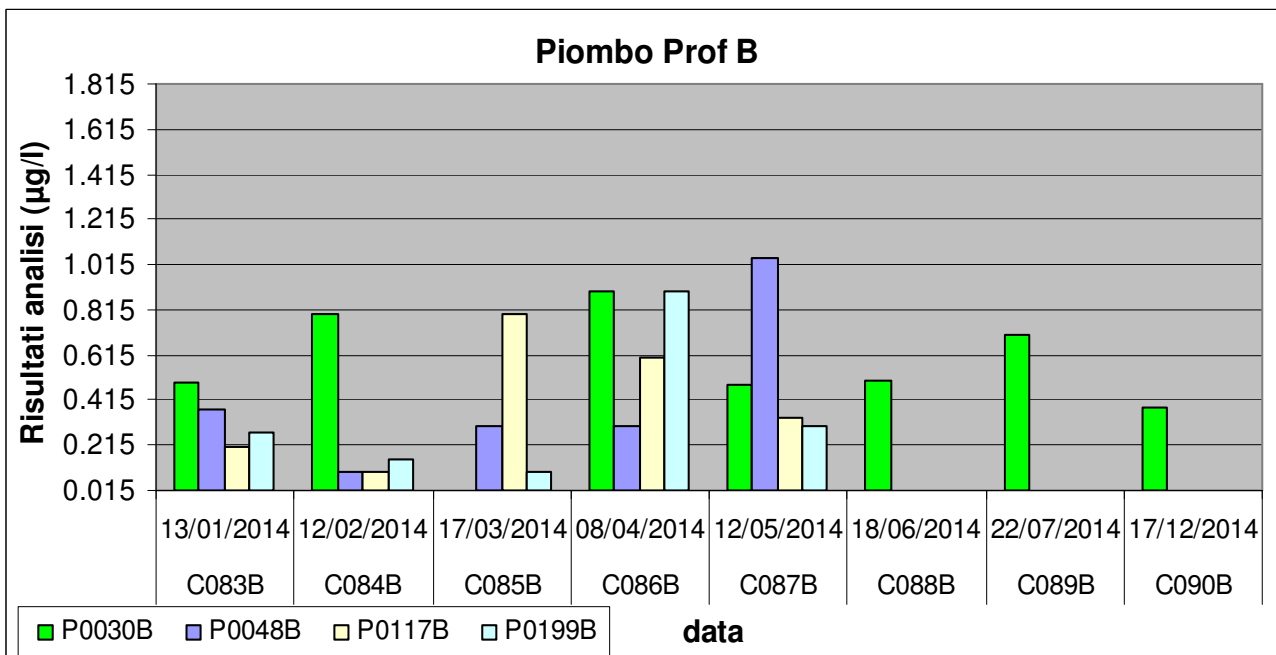
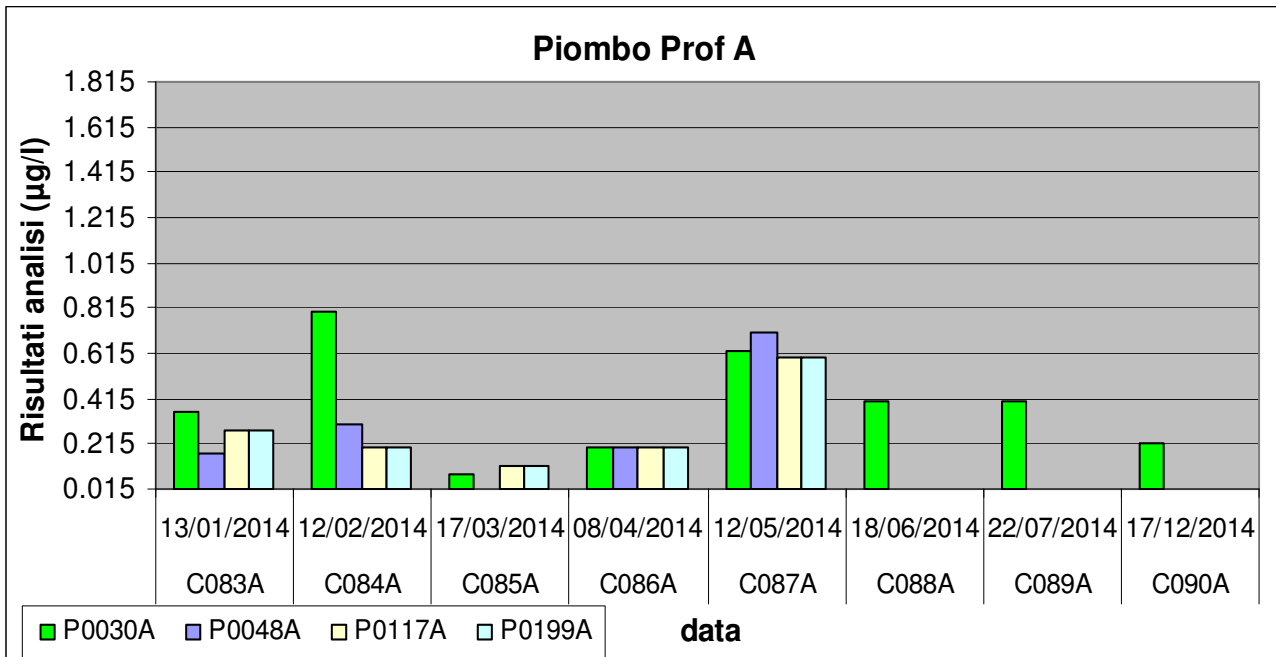




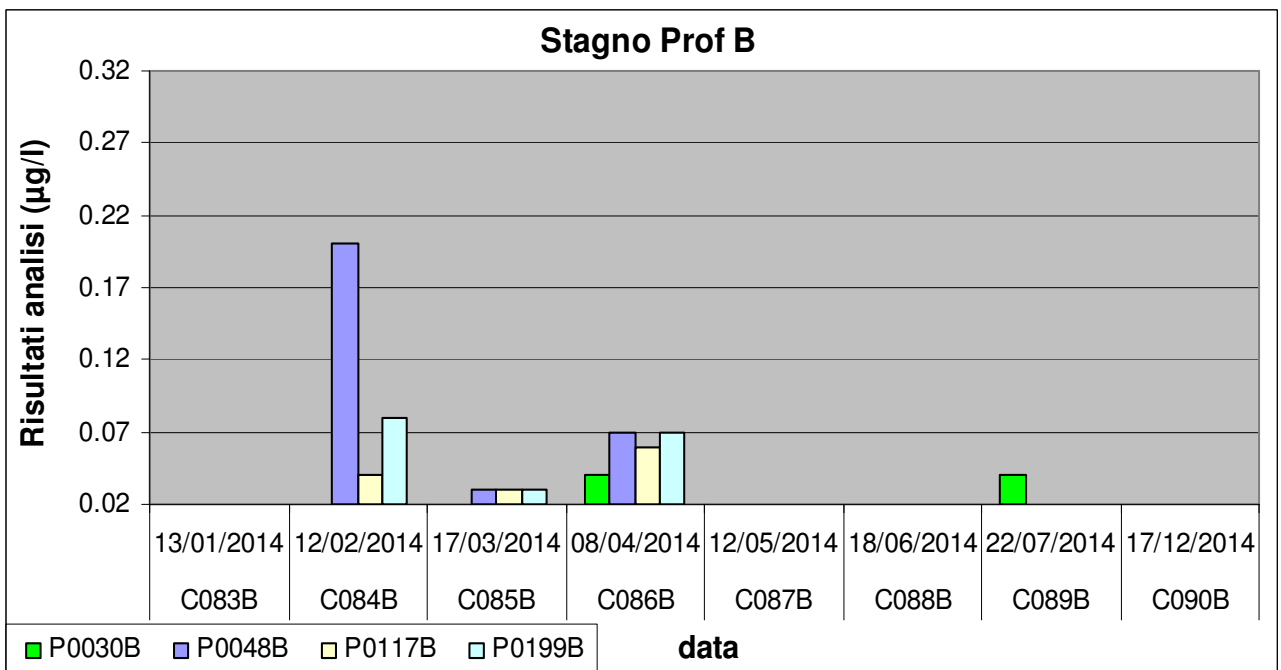
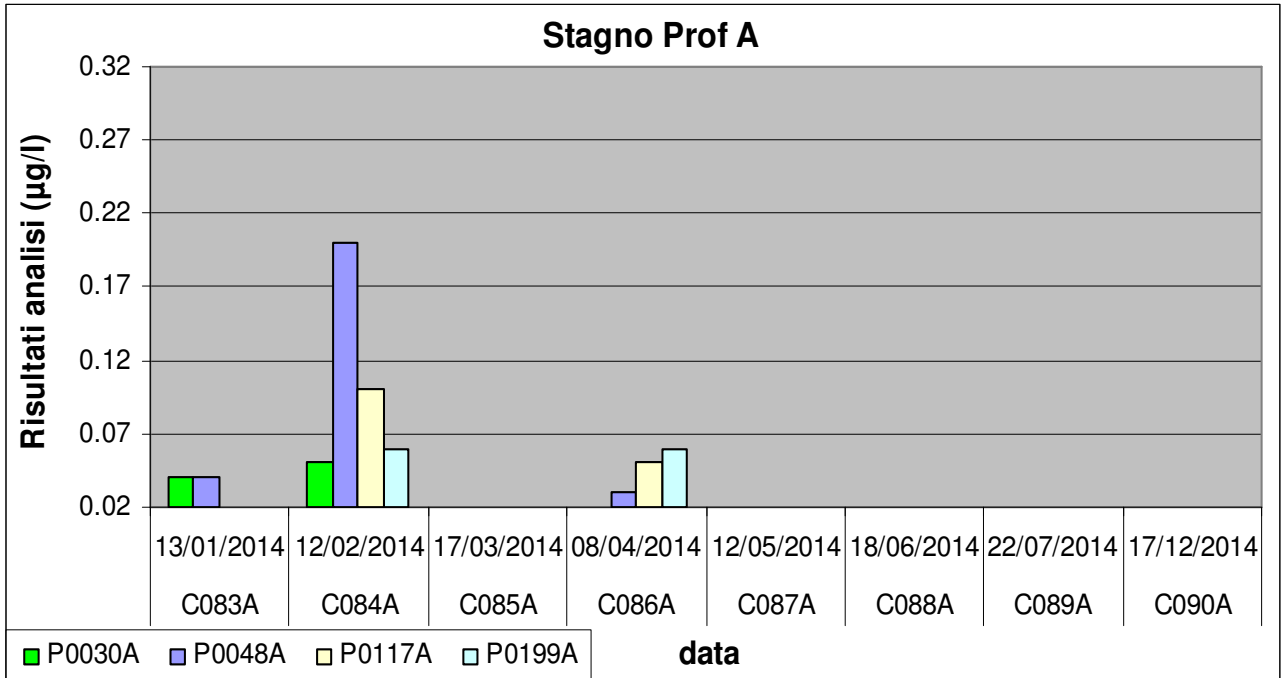
**Fig.8 Andamento parametro Mercurio ( $\mu\text{g/l}$ ) in n.4 stazioni di campionamento (P0030-P0048-P0117-P0199), a due profondità (-2 m dalla superficie e +2 m dal fondo) nel periodo in esame**



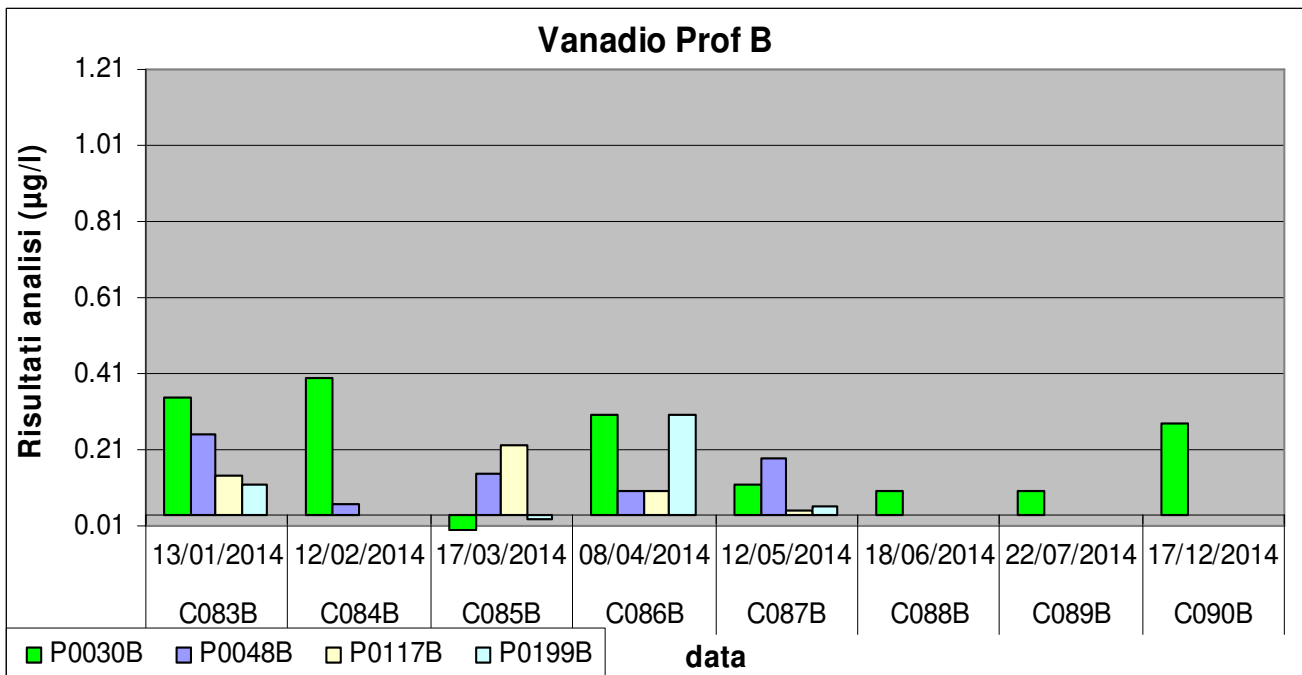
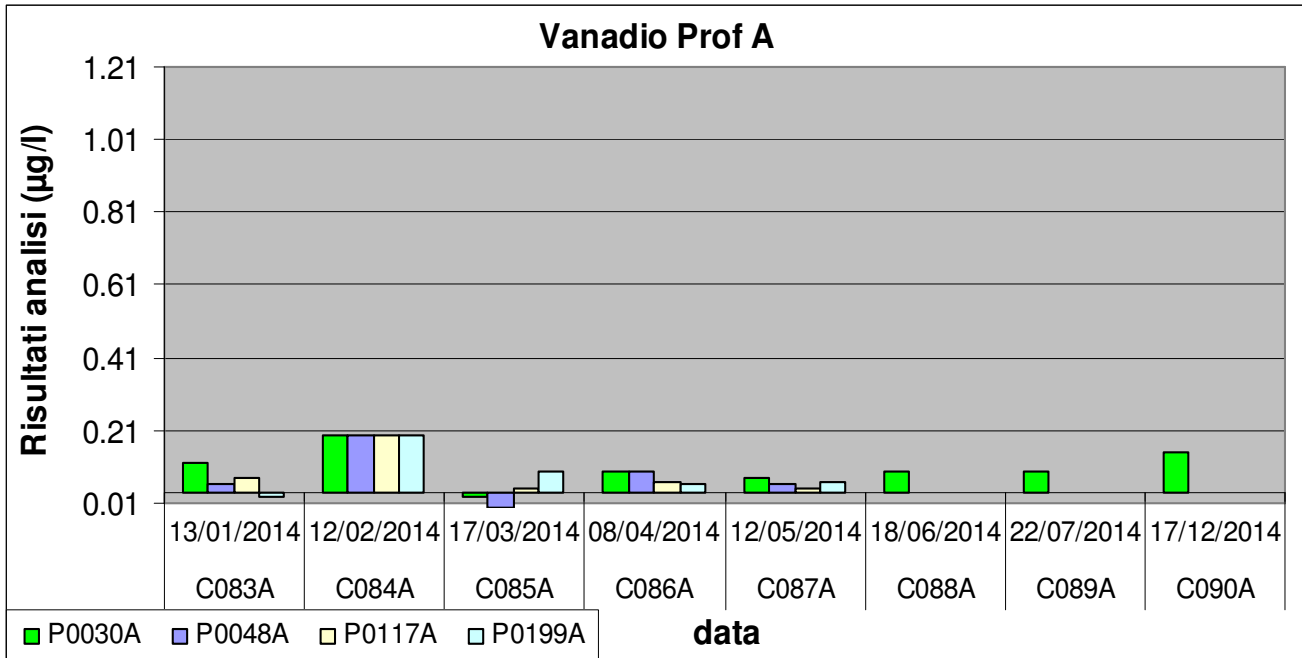
**Fig.9 Andamento parametro Piombo ( $\mu\text{g/l}$ ) in n.4 stazioni di campionamento (P0030-P0048-P0117-P0199), a due profondità (-2 m dalla superficie e +2 m dal fondo) nel periodo in esame**



**Fig.10 Andamento parametro Stagno ( $\mu\text{g/l}$ ) in n.4 stazioni di campionamento (P0030-P0048-P0117-P0199), a due profondità (-2 m dalla superficie e +2 m dal fondo) nel periodo in esame**



**Fig.11 Andamento parametro Vanadio ( $\mu\text{g/l}$ ) in n.4 stazioni di campionamento (P0030-P0048-P0117-P0199), a due profondità (-2 m dalla superficie e +2 m dal fondo) nel periodo in esame**



**Fig.12 Andamento parametro Zinco ( $\mu\text{g/l}$ ) in n.4 stazioni di campionamento (P0030-P0048-P0117-P0199), a due profondità (-2 m dalla superficie e +2 m dal fondo) nel periodo in esame**

